



## کانی‌شناسی، ژئوشیمی و جایگاه زمین‌ساختی متابازیت‌های مجموعه‌ی دگرگونی گشت (غرب رشت)

محمد رضا جوانمرد<sup>۱</sup>، محسن نصرآبادی<sup>۱\*</sup>، کاظم قلیزاده<sup>۲</sup>

۱- دانشگاه بین‌المللی امام خمینی<sup>(ره)</sup>، قزوین

۲- گروه زمین‌شناسی، دانشکده علوم، دانشگاه شهید بهشتی، تهران

(دریافت مقاله: ۹۴/۳/۱۷، نسخه نهایی: ۹۴/۹/۲۲)

چکیده: مجموعه‌ی دگرگونی گشت در کوههای طالش البرز غربی قرار گرفته است. این مجموعه دگرگونی بیشتر متشکل از متابازیت و متابازیت است. متابازیت‌ها شرایط دگرگونی رخساره شیست سبز و آمفیبولیت را نشان می‌دهند. پاراژنر کانی‌شناسی سنگ‌های رخساره‌ی شیست سبز شامل آمفیبول، فلدسپار و اپیدوت است و کلینوپیروکسن نیز به صورت کانی فرعی حضور دارد. آمفیبولیت‌های مجموعه‌ی دگرگونی گشت از هر دو نوع توده‌ای و فولیاسیون‌دار هستند. کانی‌های سنگ‌ساز از آمفیبولیت آندزین و منیزیوهوبرنبلند ساخته شده‌اند. اسفن، ایلمنیت و کلینوپیروکسن از کانی‌های فرعی هستند. بیویتیت حاصل دگرسانی آمفیبول است. نتایج دما- فشار‌سنجی محاسبه شده به روش‌های مختلف، دمای ۵۵۰ تا ۷۵۰ درجه‌ی سانتی‌گراد و فشار ۶ تا ۸ کیلوبار را نشان می‌دهند که تقریباً معادل گرادیان زمین‌گرمایی ۳۰ درجه‌ی سانتی‌گراد بر کیلومتر است. این شرایط دگرگونی و گرادیان زمین‌گرمایی مشابه متابولیت‌های هم‌جوار است. شیمی سنگ کل متابازیت‌های مجموعه‌ی دگرگونی گشت، ویژگی‌های ژئوشیمیایی مانگماهای بازیک جایگاه فروراش را نشان می‌دهند. احتمالاً شیست سبز و آمفیبولیت‌های مجموعه‌ی دگرگونی گشت، معرف مانگماتیسم بازیک قوس مانگماتیسم حاصل از فروراش حوضه‌ی اقیانوسی پالئوتیس به زیر لبه قاره تورانند که دستخوش دگرگونی حاشیه‌ای فعال قاره‌ای یا برخورد، طی کوهزایی ائوکیمیرین شده‌اند.

واژه‌های کلیدی: متابازیت؛ شیمی سنگ کل؛ حاشیه فعال قاره‌ای؛ مجموعه دگرگونی گشت.

اندازه‌گیری دما-فشار واحدهای متابازیت نوارهای کوهزایی است به‌طوری که ضمن شناخت گرادیان زمین‌گرمایی و سازوکار دگرگونی، جایگاه زمین‌ساختی فرایند دگرگونی نیز روشن می‌شود. در این پژوهش سعی شده است تا با بررسی شیمی سنگ کل و مخصوصاً استفاده از عناصر کمیاب نامتحرك طی دگرگونی و تعیین دما و فشار دگرگونی آمفیبولیت‌های مجموعه‌ی دگرگونی گشت، جایگاه پالئوتکتونیک متابازیت‌های این مجموعه دگرگونی ارزیابی شد.

### مقدمه

در بررسی شکل‌گیری‌های زمین‌ساختی نوارهای کوهزایی، سنگ‌های بازیک و اولترا بازیک دگرگون شده از واحدهای سنگی، کلیدهایی مهم محسوب می‌شوند. این سنگ‌ها عموماً با مانگماتیسم قوس منطقه‌ی فروراشی و حوضه‌های کششی پیش از برخورد دو قاره (پشت قوس) در ارتباط بوده‌اند [۱]، بنابراین بررسی جنبه‌های مختلف این گونه سنگ‌ها از جمله تحولات دگرگونی، شیمی سنگ کل، سن‌سنجی و برداشت-های ساختاری، توجه سنگ شناسان را به خود جلب کرده‌اند. شناخت تاریخچه دگرگونی مستلزم آشنايی با شیمی کانی‌ها و

\*نويسنده مسئول، تلفن: ۰۲۸۳۳۹۰۷۸۰۰، نمبر: ۰۲۸۳۳۹۰۱۳۶۰، پست الکترونیکی: nasrabi@sci.ikiu.ac.ir

مرکزی [۶،۵] و مجموعه‌های دگرگونی شاندرمن [۸،۷]، اسلام [۱۰،۹] و گشت [۱۱-۱۳] در البرز غربی. این مجموعه‌های دگرگونی به عنوان بقایایی از زمین درز پالتوتیس در نظر گرفته شده‌اند که جایگزینی آن‌ها در نوار کوهزایی البرز طی فاز کوهزایی اوکیمیرین صورت گرفته است [۶]. در این میان، مجموعه‌ی دگرگونی گشت (شکل ۱) از اهمیت منحصر به‌فردی برخوردار است زیرا سنگ‌های دگرگونی مشابه این مجموعه‌ی دگرگونی در نقاط دیگر البرز وجود ندارند و فقر اطلاعات سنگ شناسی درباره‌ی آن بسیار مشهود است.

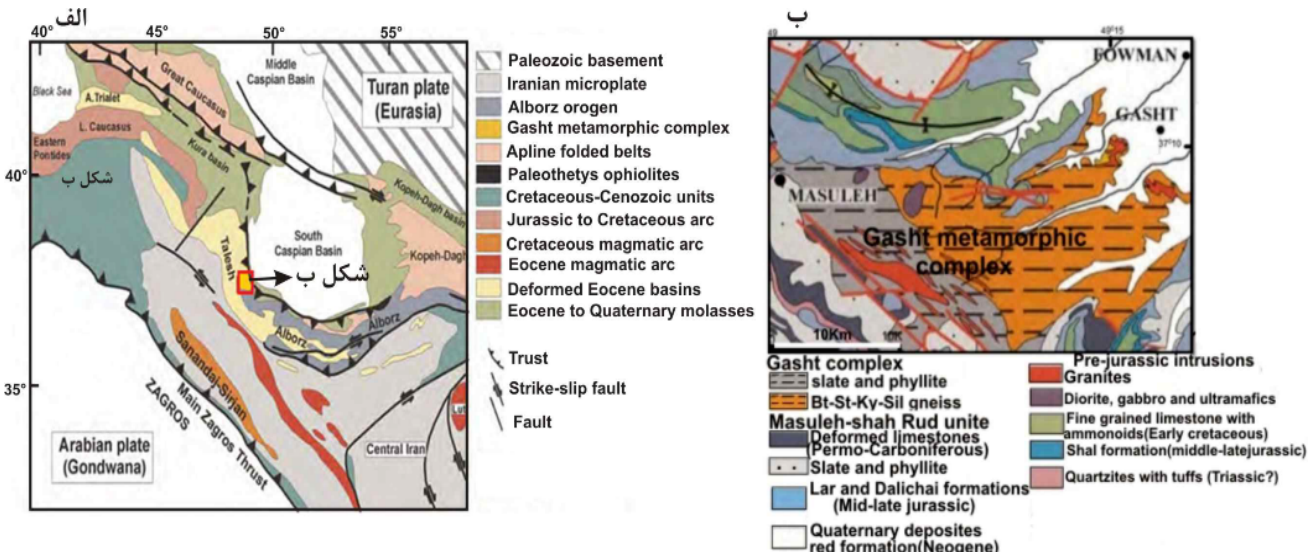
مجموعه‌ی دگرگونی گشت در غرب شهرستان رشت همراه با مجموعه‌های دگرگونی شاندرمن و اسلام در دامنه‌ی شمالی ارتفاعات البرز غربی از کوههای طالش بروند دارند. این مجموعه‌ی دگرگونی با توپوگرافی مرتفع سازنده‌ی ارتفاعات جنوب غربی فومن بوده و با جنگلی انبوه پوشیده شده است (شکل ۲ الف). بر اساس شواهد صحرایی و میکروسکوپی، این مجموعه‌ی دگرگونی به دو بخش زیرین و بالایی تقسیم شده است [۱۱]. بخش زیرین شامل مجموعه‌ی از میکاشیست‌های مختلف و گنیس‌های میگماتیتی است. بخش بالایی متشكل از سنگ‌های شیستی با دگرگونی درجه‌ی ضعیف است که نسبت به بخش زیرین ریزدانه‌تر بوده و از فیلیت و شیست‌های سریسیتی و کلریت‌دار تشکیل شده است که در برخی نقاط بخش زیرین این بخش با کوارتزیت همراه است.

## روش بررسی

پس از بررسی‌های میکروسکوپی، تعداد ۳ نمونه شیست سبز و ۷ نمونه آمفیبولیت جمع‌آوری شده از مجموعه‌ی دگرگونی گشت، که شواهد دگرگرانی و ساختارهای رگه‌ای کمتری دارند، انتخاب و برای بررسی‌های ICP و XRF، به آزمایشگاه سازمان زمین‌شناسی و اکتشافات معدنی کشور ارسال شوند. سپس به کمک نتایج حاصل و با استفاده از نرم‌افزارهای Excel, Igpet و Corel Draw به رسم نمودارهای ژئوشیمیایی و تفسیر آن‌ها اقدام شده است. همچنین به منظور تعیین شرایط دما و فشار حاکم بر متابازیت‌های مجموعه‌ی دگرگونی دو نمونه آمفیبولیت و شیست سبز، در مرکز فرآوری مواد معدنی کرج با استفاده از یک ریزپردازندۀ نقطه‌ای مدل Cameca SX100 مورد بررسی قرار گرفتند. در طول این بررسی، ولتاژ ۱۵KV، شدت جریان ۱۵nA و قطر پرتو مورد استفاده ۱ تا ۵ میکرون بوده‌اند. برای محاسبه‌ی فرمول ساختاری کانی‌ها، نرم‌افزار Calc Min به کار گرفته شد و به منظور ارزیابی فشار و دما‌ی دگرگونی از شبکه‌های پتروزنیک و دما- فشارسنج‌های قراردادی استفاده شدند.

## زمین‌شناسی ناحیه‌ای

در کمربند کوهزایی البرز چندین مجموعه‌ی دگرگونی وجود دارند که عبارتند از: سنگ‌های دگرگونی با درجه پایین اطراف مشهد در ارتفاعات بینالود [۴-۲]، شیست‌های گرگان در البرز



شکل ۱ الف- موقعیت ساختاری کمربند البرز و پهنه‌های زمین‌شناسی پیرامون آن [۷]. موقعیت مجموعه‌ی دگرگونی گشت با چهارگوش نشان داده شده است. ب- نقشه‌ی زمین‌شناسی ساده از مجموعه‌ی دگرگونی گشت (با تغییرات از [۱۱]).

متابازیت‌ها نیز، خاستگاه احتمالی دیگر برای تشکیل این چنین رگه‌های است.

آمفیبولیت‌های مجموعه‌ی دگرگونی گشت نسبت به شیستهای سبز درشت بلورتر بوده و به صورت فولیاپیون‌دار (شکل ۳ پ) یا توده‌ای (شکل ۳ ت) بیشتر متتشکل از آمفیبول و پلاژیوکلاز هستند. از کانی‌های فرعی می‌توان به کوارتر، اسفن و ایلمنیت اشاره کرد. بیوتیت و سریسیت به صورت کانی‌ثانوی به ترتیب حاصل دگرسانی آمفیبول و پلاژیوکلاز هستند که به ندرت در بعضی از نمونه‌های آمفیبولیت، کلینوپیروکسن نیز مشاهده می‌شوند. احتمالاً درجه‌ی دگرگونی به اندازه‌ای رسیده که کلینوپیروکسن دگرگونی، در آمفیبولیت‌های فولیاپیون دار متببور شده است.

#### شیمی کانی‌ها

به منظور شناسایی ترکیب شیمیایی کانی‌ها و ارزیابی شرایط تبلور آن‌ها، از کانی‌های دو نمونه شیست سبز و آمفیبولیت ریزپردازش نقطه‌ای به عمل آمد (جدول ۱). در این بخش به تفصیل ترکیب شیمیایی کانی‌ها بحث خواهد شد.

#### آمفیبولیت آمفیبول

با توجه به معیار رده‌بندی آمفیبول‌ها [۱۴]، آمفیبول نمونه‌ی آmfibolit مورد بررسی از نوع کلسیک بوده ( $\text{Ca}^{\text{B}}/\text{Ca}^{\text{A}} \geq 0.75$ ) و بنابر میزان کاتیون‌های آلومینیم، آهن و تیتانیم جایگاه C و سدیم، پتاسیم و کلسیم موجود در جایگاه A، بیشتر منیزیوهورنبلند نام دارند (شکل ۴ الف). بر اساس نمودار جدا کننده‌ی آمفیبول ماقمایی از دگرگونی [۱۵]، آمفیبول‌های مورد بررسی از نوع دگرگونی هستند (شکل ۴ ب).

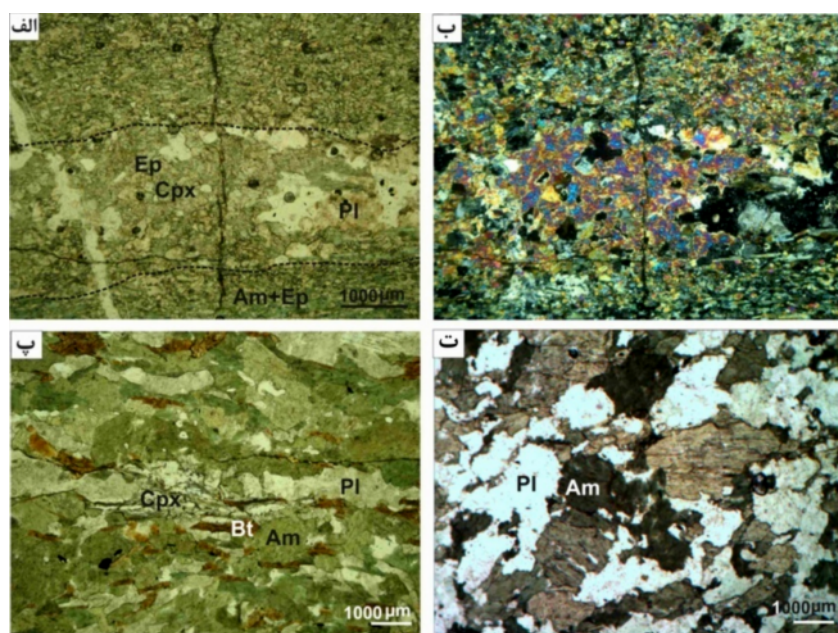
توالی زون‌های دگرگونی موجود در متابازیت‌های مجموعه‌ی دگرگونی گشت (زون‌های بیوتیت، گارنت، استارولیت، کیانیت و استارولیت)، وجود استارولیت و کیانیت، نبود کردیریت، رابطه‌ی تبدیلی کیانیت به سیلیمانیت و محاسبات دما-فشارسنجی متابازیت‌ها، بیان‌گر آن است که این مجموعه دگرگونی تحت تاثیر گرادیان دگرگونی P/T متوسط یا کوهزایی قرار گرفته است [۱۲، ۱۳]. نتایج دما- فشار-سنجی متابازیت‌ها، مovid رسیدن شرایط دما و فشار دگرگونی به شرایط ذوب‌بخشی است به‌طوری که می‌توان گنیس‌های سیلیمانیت‌دار با ساختار میگماتیتی (شکل ۲ ب) را در صورت برجا مشاهده کرد [۱۲]. علاوه بر متابازیت‌های یاد شده، نمونه‌های کالک سیلیکات و سنگ‌های متابازیتی (شکل ۲ پ) شامل شیست سبز و آمفیبولیت نیز در این مجموعه دگرگونی حضور دارند که به‌واسطه‌ی تراکم بالای پوشش گیاهی، توپوگرافی بلند و وجود قشر ضخیمی از خاک جنگلی در بیشتر موارد بروند بر جای آن‌ها از دیده نهان مانده است.

#### سنگ نگاری

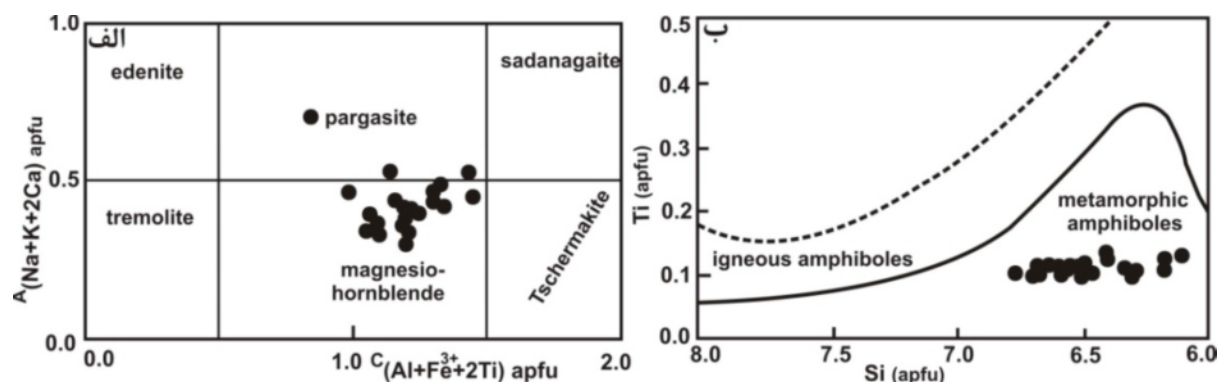
متابازیت‌های مجموعه‌ی دگرگونی گشت از سنگ‌های رخساره-ی شیست سبز و آمفیبولیت تشکیل شده‌اند. کانی‌های سنگ-ساز شیست سبز آمفیبول جهت یافته، آلبیت و اپیدوت هستند. که رگه‌هایی متتشکل از پیروکسن، اپیدوت و کلسیت نیز در این سنگ‌ها دیده می‌شوند (شکل ۲ الف و ب). تشکیل دوگانه‌ی اسکارن مانند، احتمالاً بیان‌گر تبادل شیمیایی بین رگه‌های کلسیتی ثانویه و پروتولیت آذرین سیلیکاتی طی دگرگونی است. از طرفی تزریق سیالات دگرگونی غنی از دیاکسید کربن تراوش یافته از واحدهای سنگی آهکی - سیلیکاتی به داخل



شکل ۲ (الف) دورنمایی مجموعه‌ی دگرگونی گشت که سازنده‌ی ارتفاعات غرب شهرستان فومن است و با پوشش جنگلی آبویه پوشیده شده است. (ب) متابازیت‌هایی که دستخوش دگرگونی درجه‌ی بالا شده‌اند، ساختارهای میگماتیتی نشان می‌دهند. (پ) نمونی دستی متابازیت مجموعه‌ی دگرگونی گشت متوسط بلور بوده، و شامل رگه‌های ثانوی کلسیت است.



شکل ۳ تصاویر میکروسکوپی متابازیت‌های مجموعه دگرگونی گشت. الف و ب- تصویر میکروسکوپی شیست سبز و رگهی مت Shank از کلینوپیروکسن، کلسیت و اپیدوت در آن. پ- آمفیبولیت فولیاسیون دار با کانی‌های سنگ‌ساز آمفیبول و پلازیوکلاز. بیوتیت کانی ثانوی و ایلمنیت، اسفن و کلینوپیروکسن، کانی‌های فرعی هستند. ت- آمفیبولیت توده‌ای با کانی‌های سنگ‌ساز آمفیبول و پلازیوکلاز.



شکل ۴ (الف) بنابر نمودارهای رده‌بندی آمفیبول [۱۴]، آمفیبول‌های موجود در نمونه‌ی آمفیبولیتی، بیشتر از نوع منیزیوهورنبلند هستند. (ب) بر اساس نمودار جداکننده‌ی آمفیبول‌های دگرگونی از انواع آذرین [۱۵]، آمفیبول‌های موجود در نمونه‌ی آمفیبولیتی مجموعه دگرگونی گشت از نوع دگرگونی هستند.

از ۲۴ تا ۲۸۱ درصد و عدد منیزیم آن‌ها ۵۹ درصد است.

#### شیست سبز کلینوپیروکسن

بنابر نمودار رده‌بندی پیروکسن [۱۷] کلینوپیروکسن موجود در رگه‌های کلسیتی شیست سبز، از نوع دیوپسید بوده و سازه‌های اصلی آن به قرار زیرند (جدول ۱): ولاستونیت (۵۳ تا ۵۳ درصد)، فروسیلیت (۹ تا ۱۰ درصد) و انساتیت (۳۶ تا ۳۷ درصد).

#### فلدسبار

نتایج فلدسبارهای نمونه‌ی آمفیبولیت، در جدول ۱ ارائه شده است. میزان تشکیل دهنده‌های پلازیوکلاز عبارتند از آلبیت (از ۵۰ تا ۵۳ درصد)، آنورتیت (از ۴۷ تا ۴۹ درصد) و ارتوز (۱۱ درصد). لذا پلازیوکلازهای مورد بررسی از نوع آندزین هستند.

#### بیوتیت

بنابر معیارهای رده‌بندی میکائی سیاه [۱۶]، این کانی، از نوع آهن و منیزیم‌دار (بیوتیت) است. میزان تیتانیم موجود در آن‌ها

جدول ۱ نتایج آنالیز شیمیابی کانی‌های موجود در نمونه‌شیست سبز و آمفیبولیت. فرمول ساختاری کانی‌های آمفیبول، پلازیوکلار، بیوتیت، اپیدوت و پیروکسن به ترتیب بر اساس ۲۳، ۸، ۲۲، ۸، ۱۲، ۵ و ۶ اکسیژن محاسبه شده‌اند.

نمونه	آمفیبولیت							شیست سبز				
	آمفیبول		پلازیوکلار		بیوتیت		اپیدوت		پیروکسن		فلدسبار	
کانی	#۲۴	#۲۶	#۲۴	#۲۵	#۳	#۲۷	#۷	#۶	#۲	#۱	#۱۲	#۱۰
شماره آنالیز	#۲۴	#۲۶	#۲۴	#۲۵	#۳	#۲۷	#۷	#۶	#۲	#۱	#۱۲	#۱۰
SiO <sub>2</sub>	۴۴,۹۰	۴۴,۴۷	۵۹,۴۶	۵۹,۶۹	۳۱,۲۵	۳۲,۸۵	۳۸,۵۴	۳۸,۱۶	۵۱,۵۵	۵۱,۳۴	۶۵,۵۳	۶۸,۱۹
TiO <sub>2</sub>	۱,۰۶	۱,۱۰	۰,۰	۰,۰۱	۲,۴۰	۲,۸۱	۰,۰۶	۰,۱۳	۰,۱۱	۰,۱۱	۰,۰۳	۰,۰۰
Al <sub>2</sub> O <sub>3</sub>	۱۱,۰۷	۱۰,۷۳	۲۶,۴۲	۲۵,۹۶	۱۷,۴۳	۱۶,۰۵	۲۴,۳۸	۲۴,۹۲	۲۰,۰۴	۲,۱۱	۱۸,۷۹	۱۹,۹
FeO <sup>t</sup>	۱۶,۲۵	۱۶,۳۳	۰,۲۳	۰,۰۷	۲۲,۹۸	۲۲,۲۲	۱۱,۹۲	۱۰,۶۲	۱۰,۲۰	۱۰,۲۸	۰,۲۵	۰,۰۸
MnO	۰,۱۶	۰,۱۶	۰,۰	۰,۰۰	۰,۰۸	۰,۰۸	۰,۰۸	۰,۰۹	۰,۰۴	۰,۰۴	۰,۰۰	۰,۰۰
MgO	۱۱,۷۱	۱۱,۵۵	۰,۰۲	۰,۰۰	۱۶,۳۵	۱۴,۹۱	۰,۰۰	۰,۰۰	۱۲,۱۲	۱۲,۲۶	۰,۰۱	۰,۰۰
CaO	۱۱,۴۱	۱۱,۳۹	۸,۱۳	۷,۵۲	۰,۲۶	۰,۱۸	۲۳,۸۶	۲۳,۷۳	۲۴,۱۲	۲۴,۱۸	۰,۲۱	۰,۴۵
Na <sub>2</sub> O	۱,۳۱	۱,۴۴		۷,۴۷	۰,۱۱	۰,۲۱	۰,۰۰	۰,۰۳	۰,۰۸	۰,۶۰	۰,۱۵	۱۱,۹۸
K <sub>2</sub> O	۰,۵۷	۰,۶۱	۰,۲۱	۰,۱۹	۱,۷۳	۰,۲۰	۰,۰۰	۰,۰۰	۰,۰۰	۰,۰۰	۱۵,۳۸	۰,۳۱
Total	۹۸,۴۴	۹۷,۷۸	۱۰,۱۵	۱۰,۰۹	۹۳,۶	۹۴,۵۲	۹۸,۸۴	۹۷,۶۸	۱۰,۱۰	۱۰,۱۱	۱۰۰,۳۶	۱۰۰,۹۳
Si	۶,۵۴	۶,۵۵	۲,۶۲	۲,۶۴	۲,۳۹	۲,۵۱	۳,۰۲	۳,۰۱	۱,۹۲	۱,۹۰	۲,۹۹	۲,۹۶
Ti	۰,۱۲	۰,۱۲	۰,۰۰	۰,۰۰	۰,۱۴	۰,۱۶	۰,۰۰	۰,۰۱			۰,۰۰	۰,۰۰
Al <sup>IV</sup>	۱,۴۶	۱,۴۵	۱,۳۷	۱,۳۵	۱,۵۹	۱,۴۶	۲,۲۵	۲,۳۲	۰,۰۹	۰,۱۰	۱,۰۱	۱,۰۲
Al <sup>VI</sup>	۰,۴۴	۰,۴۱										
Fe <sup>3+</sup>	۰,۵۴	۰,۴۹	۰,۰۱	۰,۰۰	۰,۲۳	۰,۲۱	۰,۷۰	۰,۶۳	۰,۳۲	۰,۳۳	۰,۰۰	۰,۰۰
Fe <sup>2+</sup>	۱,۳۶	۱,۴۴	۰,۰۰		۱,۲۸	۱,۱۹						
Mn	۰,۰۲	۰,۰۲	۰,۰۰	۰,۰۰	۰,۰۱	۰,۰۱	۰,۰۰	۰,۰۱	۰,۰۰	۰,۰۰	۰,۰۰	۰,۰۰
Mg	۲,۵۴	۲,۵۴	۰,۰۰	۰,۰۰	۱,۸۶	۱,۷۰	۰,۰۰	۰,۰۰	۰,۶۷	۰,۶۸	۰,۰۰	۰,۰۰
Ca	۱,۷۸	۱,۸۰	۰,۳۸	۰,۳۶	۰,۰۲	۰,۰۲	۲,۰۰	۲,۰۱	۰,۹۶	۰,۹۶	۰,۰۱	۰,۰۲
Na	۰,۲۵	۰,۳۰	۰,۶	۰,۶۴	۰,۰۲	۰,۰۳	۰,۰۰	۰,۰۰	۰,۰۴	۰,۰۴	۰,۰۱	۱,۰۱
K	۰,۱۱	۰,۱۲	۰,۰۱	۰,۰۱	۰,۱۷	۰,۵۱	۰,۰۰	۰,۰۰	۰,۰۰	۰,۰۰	۰,۸۹	۰,۰۱
Sum	۱۵,۱۶	۱۵,۲۴	۴,۹۹	۵,۰۰	۷,۷۱	۷,۸۰	۷,۹۷	۷,۹۹	۴,۰۰	۴,۰۱	۴,۹۲	۵,۰۲
Mg#	۶۵	۶۴			۵۹	۵۹	۲۴	۲۱	۶۸	۶۷		
Ab			۴۹	۵۳							۱,۴	۹۶,۴
An			۵۰	۴۶							۱,۱	۲
Or			۱	۱							۹۷,۷۵	۱,۶
Wo									۵۲,۵۵	۵۳		
En									۳۶,۷۴	۳۷,۳۸		
Fs									۱۰,۷۱	۹,۶۳		
XPs							۲۳,۷۲	۲۱,۳۵				

### دما-فشارسنگی

یکی از اهداف مهم در سنگ‌شناسی سنگ‌های دگرگونی، محاسبه‌ی دما و فشار تشکیل سنگ‌های دگرگونی است که منجر به شناخت درجه‌ی زمین‌گرمایی قدیمی، روش‌شدن سازوکار دگرگونی و در نهایت شناسایی جایگاه پالئوتکتونوماتموروفیک خواهد شد. ارزیابی شرایط دما و فشار دگرگونی به روش‌های مختلفی صورت می‌گیرد که عبارتند از

فلدسبارهای آنالیز شده موجود در متن سنگ از هر دو نوع آلبیت و ارتوز بوده و سازنده‌های آن‌ها عبارتند از آلبیت (۱ تا

۹۶ درصد)، آنورتیت (۱ تا ۲ درصد) و ارتوز (۱ تا ۹۷ درصد).

### اپیدوت

تمرکز غلظت متشكله یا سازنده پیستاسیت اپیدوت‌های آنالیز شده متن سنگ از ۲۱ تا ۲۳ درصد متغیر است.

### فلدسبار

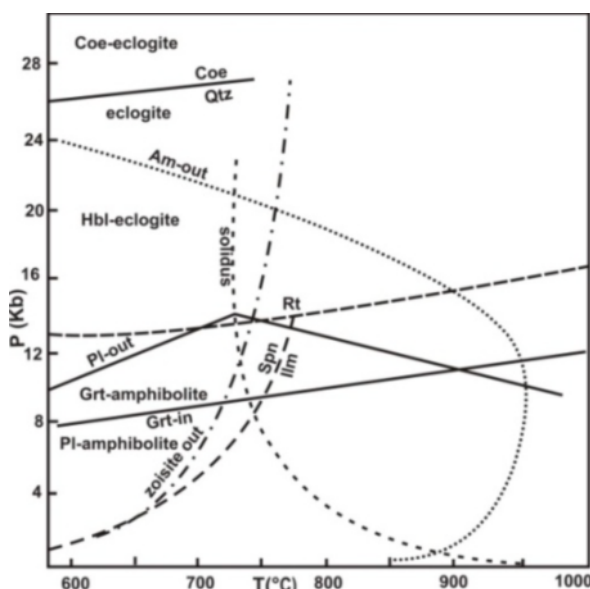
دما-فشارسنجدی به کمک شبکه‌ای پتروژنتیک متابازیت‌ها کانی‌های معده م وجود در متابازیت‌ها به صورت محلول جامد وجود دارند، در نتیجه ایزوگرداها در سیستم‌های متاپلیتی معمول‌تر بوده و پتروژنتیک متابازیت متاپلیتی از جامعیت بیشتری نسبت به متابازیت‌ها برخوردارند. با وجود این پدیده و محو کانی‌هایی از قبیل کلریت و اپیدوت در ارزیابی دما و فشار دگرگونی، متابازیت‌ها مقیدترند. با توجه به مجموعه‌های کانی-شناسی موجود در رخساره‌ی آمفیبوليت متابازیت‌ها [۱۹] و نظر به نبود کلریت در آمفیبوليت‌های مورد بررسی، حداقل دمای دگرگونی  $550^{\circ}\text{C}$  درجه‌ی سانتی‌گراد بوده است. عدم حضور اپیدوت در آمفیبوليت‌های مجموعه‌ی دگرگونی گشت نیز، حاکی از آن است که دمای بیشینه‌ی دگرگونی  $600^{\circ}\text{C}$  درجه سانتی‌گراد است. از طرفی تبلور کلینوپیروکسن دگرگونی در آمفیبوليت‌های فولیاسیون‌دار منطقه، بیان‌گر حداکثر دمای  $650^{\circ}\text{C}$  درجه سانتی‌گراد است.

#### دما-فشارسنجدی به کمک ترکیب شیمیایی آمفیبول دماسنجدی بر اساس تغییرات $\text{Mg}^{\#}$ در برابر $\text{Si}$

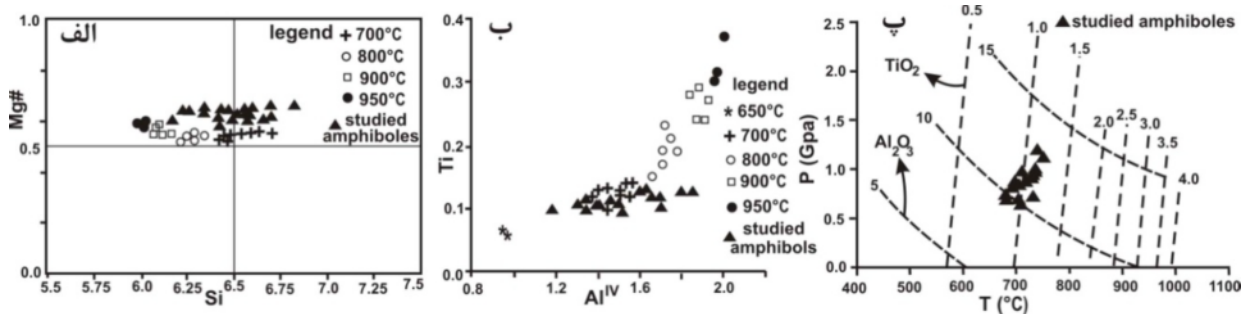
با بررسی‌های آزمایشگاهی تبلور آمفیبول در دامنه دمایی  $700^{\circ}\text{C}$  تا  $950^{\circ}\text{C}$  درجه‌ی سانتی‌گراد میسر شده است [۲۰]. با توجه به مقادیر  $\text{Si}$  و  $\text{Mg}^{\#}$  آمفیبول‌های مورد بررسی، در گستره‌ی دمایی  $700^{\circ}\text{C}$  تا  $800^{\circ}\text{C}$  درجه سانتی‌گراد متبلور شده‌اند (شکل ۶ الف).

نرم‌افزار ترموکالک، شبکه‌های پتروژنتیک، دما-فشارسنجدی‌های قراردادی و استفاده از شیمی کانی‌ها. با توجه به محدود بودن تعداد کانی‌های پاراژنز دگرگونی آمفیبوليت‌های مورد بررسی، محاسبه‌ی دما و فشار با نرم‌افزار ترموکالک میسر نشد. روش‌های دیگر دما-فشارسنجدی که با آن روش‌ها شرایط دگرگونی محاسبه شده به شرح زیرند.

دما-فشارسنجدی با استفاده از شبکه پتروژنتیک تبدیل آمفیبوليت به اکلوژیت در سیستم مورب آب‌دار در شکل ۵ شبکه پتروژنتیک گذر از رخساره‌ی آمفیبوليت به اکلوژیت در سیستم مورب آب‌دار [۱۸] و گستره‌ی پایداری فازهای تیتانیم‌دار نشان داده شده‌اند. با توجه به عدم حضور گارنت در نمونه‌های آمفیبوليت مجموعه‌ی دگرگونی گشت، فشار دگرگونی، کمتر از  $8\text{ kbar}$  بوده است. از طرفی نبود شواهد ذوب‌بخشی در نمونه‌های متابازیتی، دمای دگرگونی را در گستره‌ی زیر منحنی ذوب مورب آب‌دار و کمتر از  $750^{\circ}\text{C}$  درجه سانتی‌گراد نشان می‌دهد. نظر به نبود روتیل و حضور اسفن و ایلمنیت فشار دگرگونی کمتر از  $13\text{ kbar}$  و دامنه‌ی دمایی مجموعه‌ی دگرگونی گشت بین  $800^{\circ}\text{C}$  تا  $600^{\circ}\text{C}$  درجه‌ی سانتی‌گراد متغیر است. بنابر منحنی پایداری اپیدوت و با توجه به نبود اپیدوت در آمفیبوليت‌های مجموعه‌ی دگرگونی گشت، در دامنه‌ی فشار  $4\text{ kbar}$  تا  $8\text{ kbar}$  دمای دگرگونی  $700^{\circ}\text{C}$  تا  $750^{\circ}\text{C}$  درجه‌ی سانتی‌گراد در تغییر است.



شکل ۵ نمودار دما-فشار و شبکه‌ای پتروژنتیک تبدیل آمفیبوليت به اکلوژیت همراه با گستره‌ی پایداری فازهای تیتانیم‌دار در سیستم مورب اشباع از آب [۱۷].



شکل ۶ دما-فشارسنجی با استفاده از ترکیب شیمیایی آمفیبول. (الف) نمودار  $Mg\#$  نسبت به  $Si$  [۲۰]. بنابر این نمودار، نمونه‌های آمفیبول مجموعه‌ی گشت، بیشتر در گستره‌ی دمایی ۷۰۰ تا ۸۰۰ درجه‌ی سانتی‌گراد متبلور شده‌اند. (ب) در نمودار تغییرات  $Al^{IV}$  در برابر  $Ti$  آمفیبول‌های کلسیک [۲۰] نیز، دمای تبلور آمفیبول نمونه‌های آمفیبولیت گشت در گستره‌ی دمایی ۷۰۰ تا ۸۰۰ درجه‌ی سانتی‌گراد است. (پ) بنابر نمودار دما-فشار و ایزوپلت‌های اکسیدهای اصلی  $TiO_2$  و  $Al_2O_3$  در آمفیبول‌های کلسیک [۲۰]. نمونه‌های گشت، دمای ۶۸۰ تا ۷۵۰ درجه سانتی‌گراد و فشار بین ۶ تا ۱۲ کیلوبار را نشان می‌دهند.

محاسبات مورد استفاده قرار گرفته است. بنابر این واکنش، در فشار ۸ کیلوبار دمای دگرگونی ۷۲۴ درجه‌ی سانتی‌گراد است.

#### شیمی سنگ کل

نتایج تجزیه‌ی شیمیایی سنگ کل ۱۰ نمونه (۳ نمونه شیست سبز و ۷ نمونه آمفیبولیت) از متابازیت‌های مجموعه‌ی دگرگونی گشت در جدول ۲ نشان داده شده‌اند. اولین گام در بررسی شیمی سنگ کل متابازیت‌ها، تمایز خاستگاه آذرین (ارتواآمفیبولیت) یا رسوبی (پارآمفیبولیت) آن‌هاست. با توجه به نمودارهای جداکننده خاستگاه رسوبی از آذرین [۲۴]، پروتولیت متابازیت‌های مورد بررسی در گستره‌ی آذرین قرار گرفته‌اند (شکل ۷) بنابراین نمونه‌های مورد بررسی از نوع ارتواآمفیبولیت هستند. بهمنظور نام‌گذاری پروتولیت و شناسایی سری ماقمایی، از نمودارهای مرسوم برای سنگ‌های آذرین استفاده شده است. در نمودارهای نام‌گذاری شده که براساس عناصر اصلی هستند [۲۵]، پروتولیت نمونه‌ها، در گستره‌ی بازالت و آندزیت بازالتی قرار می‌گیرند (شکل ۸ الف) و نظر به مقادیر کم عناصر قلیایی از ماهیت نیمه قلیایی برخوردارند. با توجه به ماهیت دگرگون شده‌ی سنگ‌های مورد بررسی، از نمودارهایی که براساس عناصر کم تحرک در طی دگرگونی بنا شده‌اند [۲۶] نیز استفاده شده است. بنابراین نمودار، تمامی نمونه‌ها در گستره‌ی بازالت قرار گرفته‌اند (شکل ۸ ب). در نمودار AFM جداکننده سری آهکی-قلیایی از توله‌ایتی [۲۷]، سری ماقمایی پروتولیت نمونه‌های مورد بررسی از هر دو نوع توله‌ایتی و آهکی-قلیایی هستند (شکل ۸ پ).

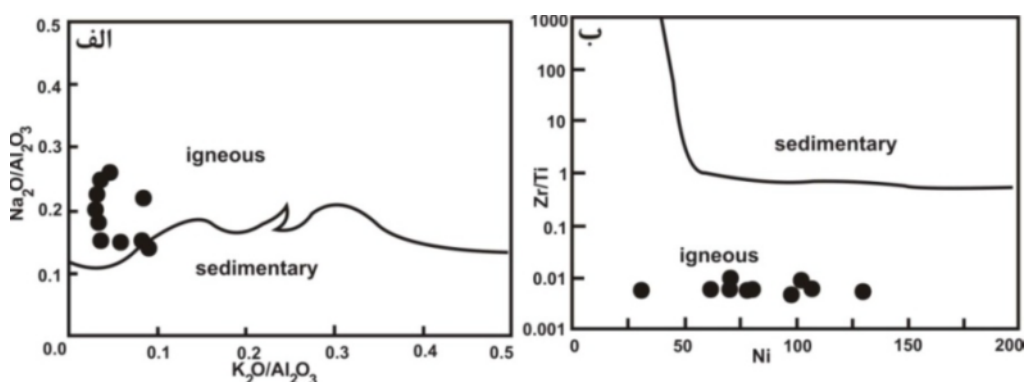
دماسنجی بر مبنای تغییرات مقدار  $Al^{IV}$  در برابر  $Ti$  آمفیبول چنانکه در شکل ۶ ب ملاحظه می‌شود، بر اساس داده‌های دمایی ارائه شده در [۲۱] و نمودار تغییرات  $Al^{IV}$  در برابر  $Ti$  [۲۰]، آمفیبول‌های نمونه‌ی آمفیبولیت مجموعه‌ی دگرگونی گشت در دمای ۷۰۰ درجه‌ی سانتی‌گراد متبلور شده‌اند.

#### دما-فشارسنجی آمفیبول با استفاده از ایزوپلت‌های $TiO_2$ و $Al_2O_3$

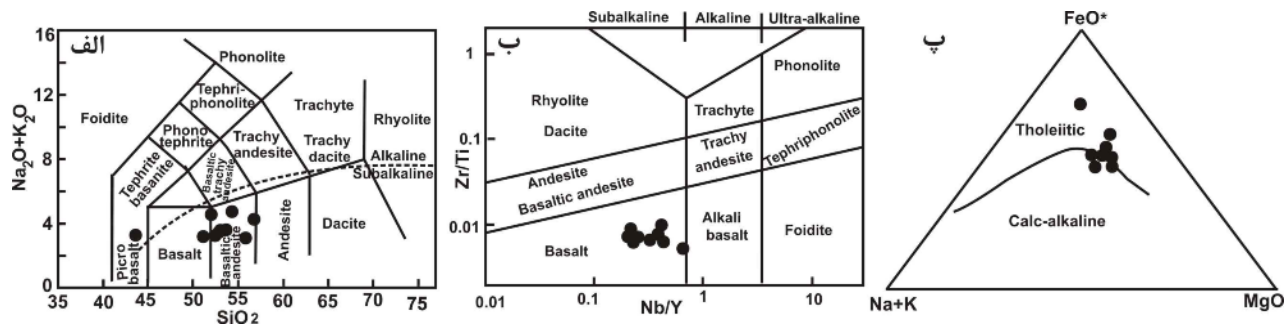
با استفاده از غلظت تیتانیم و آلومینیم آمفیبول کلسیک موجود در ترکیبات مورب، در دامنه‌ی دمای ۶۵۰ تا ۹۵۰ درجه‌ی سانتی‌گراد، فشار ۸ تا ۲۲ کیلوبار و شرایط گریزندگی اکسیژن کنترل شده سیستم کوارتز-مگنتیت-فالیالت (شکل ۶ پ)، روش دما-فشارسنجی آمفیبول به صورت نیمه‌کمی ابداع شده است [۲۰]. با استفاده از این روش شرایط دگرگونی به طور تقریبی شامل دمای ۶۸۰ تا ۷۵۰ درجه‌ی سانتی‌گراد و فشار ۶ تا ۱۲ کیلوبار است.

#### دماسنجی قراردادی هورنبلند-پلازیوکلاز

بر اساس جانشینی ادنیتی-چرم‌کیتی صورت گرفته در ترکیب شیمیایی آمفیبول، دماسنجی بر مبنای زوج کانی هورنبلند-پلازیوکلاز ابداع شده [۲۲] و سپس با توجه به حضور یا عدم حضور کوارتز در سنگ، دو واکنش جداگانه بهمنظور ارزیابی دمای سنگ‌های کوارتزدار و بدون کوارتز معرفی شده‌اند [۲۳]. از آنجا که در نمونه‌های متابازیتی مجموعه‌ی گشت، کوارتز دیده می‌شود، واکنش آلبیت + ترمولیت = کوارتز + ادنیت در



شکل ۷ الف) بنابر نمودار نسبت‌های  $\text{Na}_2\text{O}/\text{Al}_2\text{O}_3$  در برابر  $\text{K}_2\text{O}/\text{Al}_2\text{O}_3$  [۲۴]، غیر از یک نمونه، همه‌ی نمونه‌ها دارای پروتوولیت آذرین هستند. ب- با توجه به نمودار نیکل در برابر زیرکنیم به تیتانیم [۲۴] نیز، متابازیت‌های مجموعه‌ی دگرگونی گشت از دگرگونی سنگ‌های آذرین به وجود آمده‌اند.



شکل ۸ الف) بنابر نمودار نام‌گذاری سنگ‌های آذرین [۲۵]. ترکیب پروتوولیت متابازیت‌های مورد بررسی غالباً آندزیت بازالتی و بازالت نیمه قلیایی است. ب) با توجه به نمودار نام‌گذاری سنگ‌های آذرین که بر اساس عناصر غیرمتحرک طی دگرگونی گشت از آن شده است [۲۶]، ترکیب پروتوولیت نمونه‌های مورد بررسی بازالت است. پ- در نمودار جداکننده سری ماقمایی تولهایتی از آهکی-قلیایی [۲۷]، سری ماقمایی متابازیت‌های مجموعه‌ی دگرگونی گشت از هر دو نوع تولهایتی و آهکی-قلیایی است.

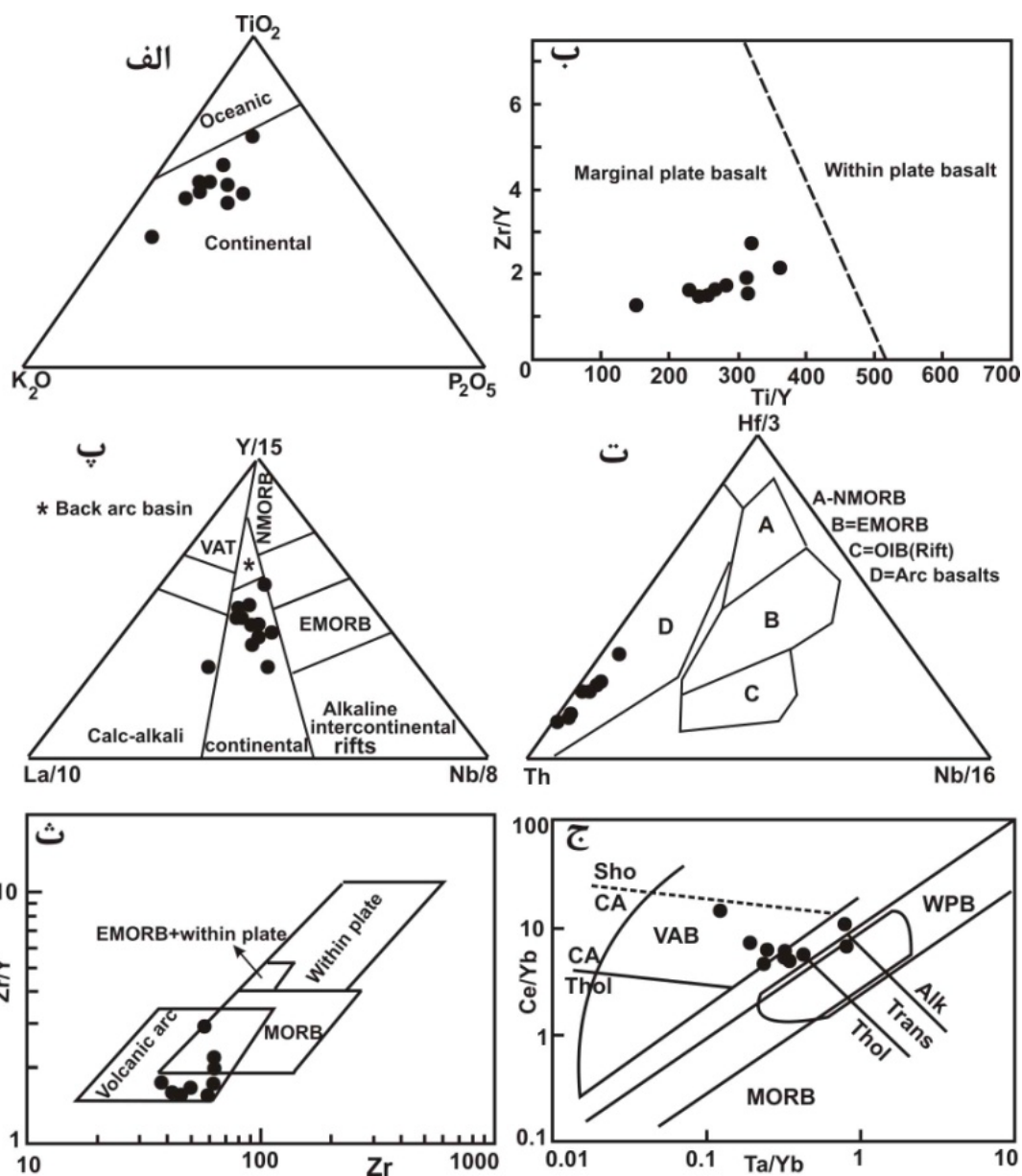
ماگمایی هستند (شکل ۹ ت). در نمودار دوتایی جداکننده‌ی جایگاه‌های زمین‌ساختی کمان آتش‌شکنی، پشت‌هه میان اقیانوسی و داخل صفحه‌ای [۳۲]، جایگاه متابازیت‌های مجموعه‌ی دگرگونی گشت، کمان آتش‌شکنی است (شکل ۹ ث). با توجه به نمودار دوتایی نسبت  $\text{Ce}/\text{Yb}$  در برابر  $\text{Ta}/\text{Yb}$  [۳۳]، جایگاه زمین‌ساختی نمونه‌های مورد بررسی، غالباً در گستره‌ی بازالت‌های کمان آتش‌شکنی یا مجاور آن واقع شده‌اند (شکل ۹ ج). بنابر نمودار دوتایی  $\text{Th}/\text{Nb}-\text{La}/\text{Yb}$  [۳۴]، جایگاه زمین‌ساختی متابازیت‌های مجموعه‌ی دگرگونی گشت، بیشتر در مرز جداکننده‌ی قوس قاره‌ای از اقیانوسی واقع شده‌اند (شکل ۹ الف). در نمودارهای جدید مثلثی و دوتایی جداکننده‌ی جایگاه زمین‌ساختی [۳۵] نیز، تمامی نمونه‌ها شاخص‌های ژئوشیمیایی بازالت‌های جزایر قوسی را نشان می‌دهند (شکل‌های ۱۰ ب، پ و ت).

#### تعیین جایگاه ژنز پروتوولیت متابازیت‌ها

در این بخش سعی شده تا علاوه بر نمودارهای مرسوم دهه‌های ۷۰ و ۸۰ قرن میلادی قبل، از نمودارهای چندعنصری که در سال‌های اخیر تعریف شده بر اساس لگاریتم چندعنصری که در سال‌های اخیر ابداع شده‌اند نیز برای شناسایی جایگاه زمین‌ساختی پروتوولیت متابازیت‌های مجموعه‌ی دگرگونی گشت استفاده گردد. بر اساس نمودار مثلثی متایزکننده بازالت قاره‌ای از اقیانوسی [۲۸]، جایگاه پروتوولیت متابازیت‌های مجموعه‌ی دگرگونی گشت قاره‌ای هستند (شکل ۹ الف). در نمودار دوتایی  $\text{Y}/\text{Ti}-\text{Zr}/\text{Y}$  در برابر  $\text{Nb}/\text{Nb}-\text{La}/\text{La}-\text{Y}/\text{Y}$  هستند (شکل ۹ ب). با توجه به نمودار سه‌تایی  $\text{Nb}/\text{Nb}-\text{Th}/\text{Hf}-\text{Nb}/\text{Nb}$  [۳۰]، پروتوولیت بیشتر نمونه‌ها، در گستره‌ی بازالت قاره‌ای قرار گرفته‌اند (شکل ۹ پ). بنابر نمودار سه‌تایی  $\text{Nb}/\text{Nb}-\text{Th}/\text{Hf}-\text{Nb}/\text{Nb}$  [۳۱]، تمامی نمونه‌های وابسته به جایگاه قوس

جدول ۲ نتایج بررسی شیمیایی سنگ کل ۱۰ نمونه از متابازیت‌های مجموعه‌ی دگرگونی گشت. عناصر اصلی و فرعی بر اساس درصد و عناصر کمیاب بر حسب قسمت در میلیون هستند.

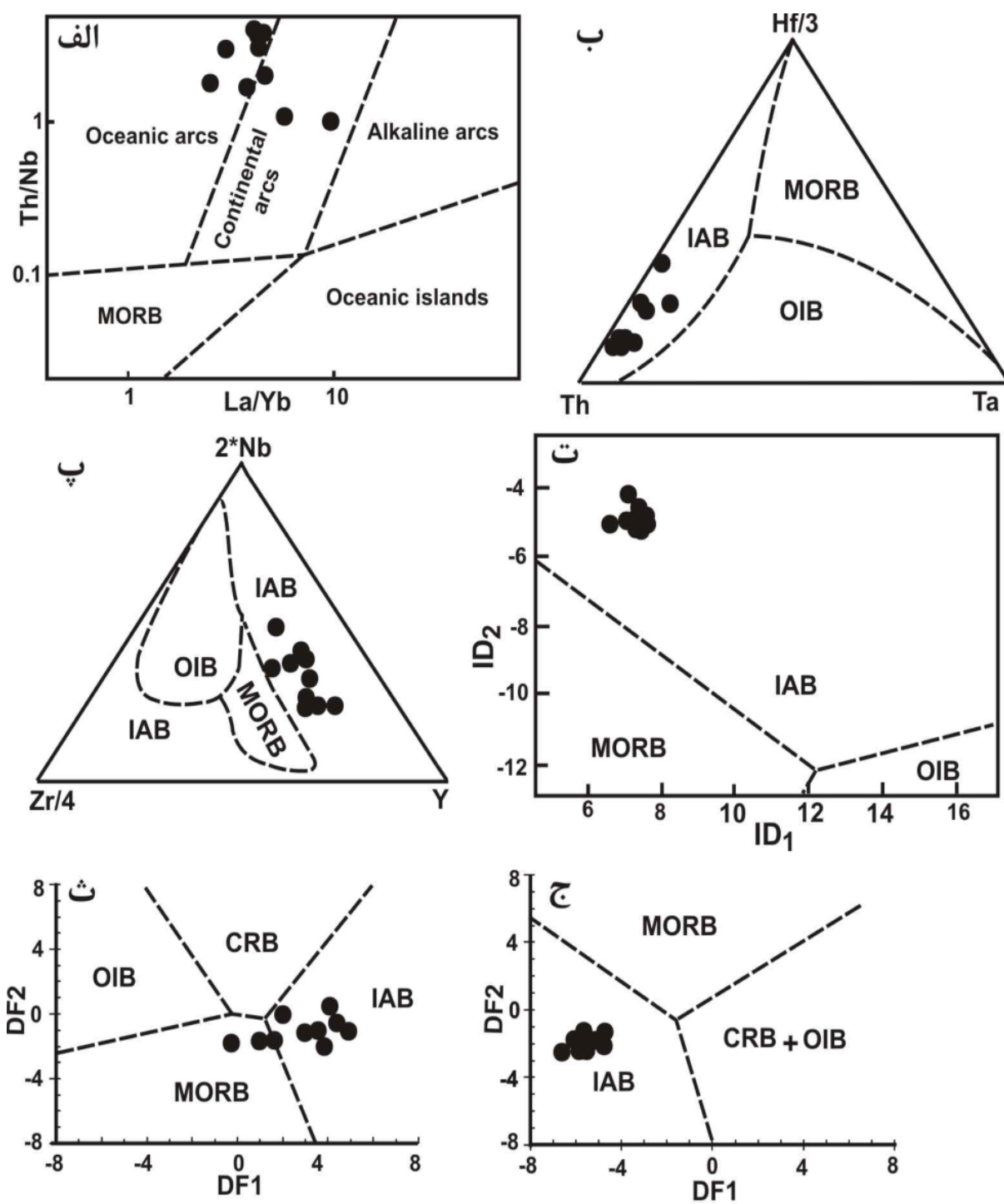
	Ga3 Am.	Ga5 Am.	Ga6 Am.	Ga17 Am.	Ga41 Gs.	Ga47 Gs	Ga50 Am.	Ga52 Gs	Ga53 Am.	Ga54 Am.
SiO <sub>2</sub>	۳۹,۶	۵۵,۳	۴۹,۱	۵۱,۰	۵۳,۰	۵۰,۹	۵۳,۰	۴۹,۱	۵۴,۷	۵۰,۸
TiO <sub>2</sub>	۱,۸	۱,۴	۱,۶	۱,۵	۰,۹	۱,۱	۰,۹	۰,۹	۱,۲	۱,۰
Al <sub>2</sub> O <sub>3</sub>	۱۲,۶	۱۳,۹	۱۳,۲	۱۵,۵	۱۶,۳	۱۲,۶	۱۵,۵	۱۴,۱	۱۶,۰	۱۵,۴
FeO*	۱۵,۷	۱۱,۳	۱۵,۵	۱۲,۰	۱۰,۶	۱۲,۳	۱۱,۲	۱۱,۷	۸,۶	۱۰,۹
MnO	۰,۷	۰,۱	۰,۵	۰,۱	<۰,۱	۰,۱	۰,۲	۰,۲	۰,۱	۰,۲
MgO	۲,۸	۵,۳	۶,۴	۵,۷	۶,۱	۵,۹	۶,۴	۶,۳	۵,۶	۵,۹
CaO	۱۵,۴	۶,۹	۸,۰	۹,۳	۶,۸	۹,۸	۸,۸	۸,۷	۹,۳	۸,۲
Na <sub>2</sub> O	۱,۸	۳,۵	۱,۸	۲,۳	۴,۰	۲,۹	۳,۰	۳,۱	۲,۴	۲,۸
K <sub>2</sub> O	۱,۱	۰,۶	۱,۲	۰,۹	۰,۶	۰,۴	۰,۵	۱,۲	۰,۶	۰,۵
P <sub>2</sub> O <sub>5</sub>	۰,۷	۰,۳	۰,۳	۰,۳	۰,۲	۰,۴	۰,۲	۰,۲	۰,۵	۰,۳
LOI	۳,۵۶	۰,۸۷	۱,۸۹	۰,۹۷	۱,۲۶	۱,۸۷	۰,۱۳	۳,۰۶	۰,۷۸	۳,۸۳
Totale	۹۵,۷۶	۹۹,۴۷	۹۹,۴۹	۹۹,۵۷	۹۹,۸۶	۹۸,۹۷	۹۹,۸۳	۹۸,۵۶	۹۹,۷۸	۹۹,۸۳
Ba	۲۰,۲,۰	۱۲۷,۰	۳۴۵,۳	۲۲۴,۴	۱۱۴,۸	۹۶,۱	۶۸,۹	۱۰,۲,۷	۲۰,۷,۶	۵۸,۷
Ce	۳۶,۲	۳۳,۴	۲۴,۷	۲۱,۷	۱۷,۱	۲۷,۲	۱۳,۵	۱۸,۳	۴۶,۳	۱۸,۹
CO	۲۹,۶	۳۰,۶	۴۱,۴	۳۳,۵	۳۵,۷	۴۳,۲	۳۰,۱	۲۵,۸	۳۴,۳	۳۲,۰
Cr	۷۲,۷	۱۹۵,۳	۲۱۹,۰	۳۳۸,۹	۲۴۱,۴	۶۶,۷	۲۴۰,۲	۳۴۳,۲	۱۷۶,۹	۲۱۶,۲
Cs	۱۴,۴	۱۱,۹	۱۳,۴	۱۲,۷	۸,۱	۱۵,۷	۷,۸	۷,۳	۸,۳	۱۰,۰
Dy	۱۱,۰	۱۰,۲	۹,۵	۸,۲	۶,۹	۱۵,۱	۵,۹	۶,۶	۷,۸	۷,۱
Er	۱,۸	۲,۱	۲,۱	۱,۷	۱,۳	۳,۰	۱,۳	۲,۳	۱,۰	۱,۴
Eu	۱,۶	۱,۷	۱,۷	۱,۷	۱,۶	۲,۲	۱,۲	۱,۵	۱,۸	۱,۴
Ga	۳۱,۴	۲۵,۹	۳۳,۲	۲۴,۵	۲۶,۸	۲۵,۲	۲۷,۵	۲۷,۶	۲۲,۷	۲۹,۵
Gd	۳,۴	۲,۵	۲,۱	۲,۳	۲,۴	۲,۶	۱,۷	۳,۷	<۱,۰	۲,۰
Hf	۱۸,۹	۱۵,۲	۲۱,۷	۱۵,۹	۱۸,۴	۱۸,۵	۹,۷	۱۱,۶	۲۰,۱	۱۳,۹
HO	۱,۲	۱,۰	۰,۹	۱,۴	۱,۳	۱,۰	۰,۹	۱,۳	۱,۵	۱,۴
La	۲۰,۰	۱۹,۶	۱۳,۱	۱۳,۳	۱۱,۵	۱۴,۵	۹,۲	۱۱,۲	۳۰,۱	۱۱,۲
MO	۲,۴	۱,۷	۲,۶	۱,۵	۰,۹	۱,۶	۱,۲	۱,۱	۱,۷	۰,۹
Nb	۱۸,۲	۱۶,۴	۸,۰	۱۳,۰	۶,۸	۱۳,۶	۵,۵	۸,۴	۱۳,۰	۸,۷
Nd	۲۵,۷	۲۴,۹	۱۸,۹	۱۹,۷	۱۳,۶	۲۱,۲	۱۲,۰	۱۲,۵	۲۸,۵	۱۶,۵
Ni	۳۱,۲	۷,۰,۹	۸,۰,۱	۶۱,۹	۱۰,۶۶	۷,۰,۵	۷۷,۹	۱۰,۲,۰	۱۲۹,۶	۹۸,۰
Pb	۲۲,۲	۳۰,۹	۵۹,۱	۱۸,۱	۱۷,۸	۲۵,۸	۲۲,۲	۲۶,۰	۱۸,۰	۱۹,۳
Pr	۲,۹	۲,۰	۲,۵	۱,۵	۱,۵	۱,۷	۱,۶	۲,۹	<۱,۰	۱,۴
Rb	۱۴۷,۵	۴۶,۴	۷۱,۱	۶۳,۹	۵۵,۶	۳۸,۸	۶۶,۵	۶۹,۵	۱۵۵,۳	۷۸,۴
Sb	۰,۴	۰,۲	۰,۱	۰,۴	۰,۴	۰,۳	۰,۵	۰,۴	۰,۳	۰,۵
Sc	۳۰,۶	۴۰,۴	۴۰,۲	۴۶,۶	۳۲,۰	۳۸,۵	۳۷,۹	۳۱,۳	۳۵,۰	۳۷,۸
Sm	۸,۳	۷,۱	۷,۴	۵,۶	۴,۸	۸,۷	۴,۴	۴,۹	۶,۲	۵,۶
Sr	۴۳۹,۲	۱۵۵,۳	۲۲۶,۴	۲۰۴,۳	۱۸۲,۴	۱۳۳,۴	۱۹۸,۰	۲۱۶,۴	۴۵۲,۱	۲۳۰,۲
Ta	۲,۷	۰,۹	۱,۴	۱,۲	۱,۲	۱,۴	۱,۱	۲,۲	۰,۴	۰,۸
Tb	۱,۴	۱,۳	۱,۴	۱,۲	۰,۹	۱,۴	۰,۸	۰,۸	۰,۹	۱,۰
Th	۱۹,۶	۳۲,۵	۲۶,۱	۱۹,۳	۴۱,۸	۲۲,۱	۲۲,۲	۲۶,۶	۱۳,۰	۳۴,۷
Tl	۰,۹	۰,۹	۰,۹	۱,۲	۰,۹	۱,۰	۰,۷	۰,۸	۰,۵	۰,۸
Tm	۰,۱	۰,۱	۰,۱	۰,۱	۰,۱	۰,۱	۰,۱	۰,۲	<۰,۱	۰,۱
U	۳,۷	۲,۳	۳,۲	۲,۱	۲,۲	۱,۹	۱,۴	۴,۳	<۱,۰	۲,۱
V	۱۸۹,۶	۲۰۹,۲	۲۴۰,۰	۲۲۱,۵	۲۱۱,۱	۲۳۷,۴	۲۰۲۶	۱۹۸,۹	۲۲۰,۳	۲۱۸,۸
Y	۲۷,۶	۴۱,۰	۳۶,۹	۳۱,۸	۳۰,۱	۶۴,۹	۲۱,۶	۱۹,۹	۳۰,۴	۲۶,۶
Yb	۳,۴	۴,۶	۴,۳	۳,۷	۳,۵	۵,۹	۲,۵	۲,۷	۳,۲	۳,۲
Zn	۶۵,۷	۶۷,۸	۴۷۲,۴	۳۲,۱	۵,۸	۸۱,۵	۲۴,۴	۱۷,۶	۱۸,۴	۳۱,۹
Zr	۶۰,۴	۶۰,۰	۶۱,۸	۶۱,۴	۴۷,۹	۸۰,۷	۳۷,۷	۵۴,۴	۴۵,۸	۴۱,۶



شکل ۹ بنابر نمودارهای جداکنندهٔ جایگاه متابازیت‌های مجموعهٔ دگرگونی گشت، بازالت حاشیه فعال (قاره‌ای؟) بوده است. الف) با توجه به نمودار مثلثی [۲۸]، جایگاه پروتولیت متابازیت‌های مجموعهٔ دگرگونی گشت قاره‌ای است. ب) در نمودار دوتایی نسبت  $Y/Ti$  در برابر  $Zr/Ti$  [۲۹]، تمام نمونه‌ها در گستره‌ی بازالت‌های حاشیهٔ فعال قاره‌ای واقع شده‌اند. پ) بنابر نمودار مثلثی  $Y/15$ - $La/10$ - $Nb/8$  [۳۰] متابازیت‌های مورد بررسی، ویژگی‌های زئوپتیمیابی بازالت قاره‌ای را نشان می‌دهند. ت) در نمودار دوتایی  $Hf/3$ - $Th$ - $Nb/16$  [۳۱] متابازیت‌های مورد بررسی، ویژگی‌های زئوپتیمیابی بازالت کمان آتشفسانی است. ث) در نمودار دوتایی  $Zr/Y$ - $Zr$  [۳۲]، جایگاه متابازیت‌های دگرگونی گشت کمان آتشفسانی است. ج) در نمودار دوتایی  $Ce/Yb$ - $Ta/Yb$  [۳۳]، نمونه‌های مورد بررسی غالباً در گستره‌ی کمان آتشفسانی یا مجاور آن واقع شده‌اند.

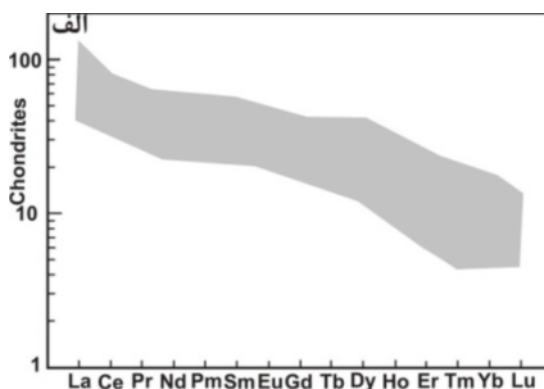
جدید نیز، جایگاه متابازیت‌های مورد بررسی وابسته به محیط فرورانش (که عامل اصلی مشارکت‌کننده در پیدایش ماغما، ذوب‌بخشی گوهی گوشه‌ای دگرسانی) است.

با توجه به نمودار دوتایی متعدد از پارامتر لگاریتم عناصر اصلی [۳۶] و کمیاب [۳۷]، جایگاه زمین ساختی بیشتر نمونه‌های مورد بررسی، جزایر قوسی هستند (شکل‌های ۱۰ ث و ج). لذا با توجه به نمودارهای جداکنندهٔ جایگاه زمین ساختی



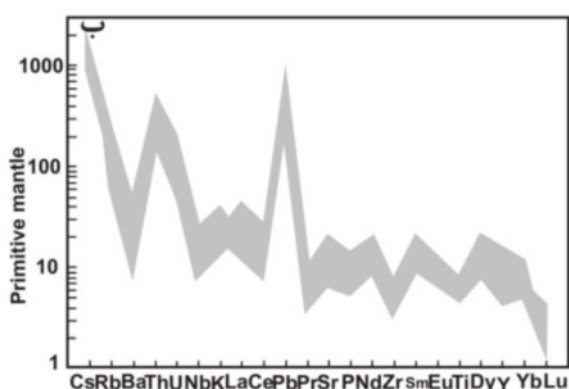
شکل ۱۰ بنابر نمودار جداکننده‌ی جایگاه زمین‌ساختی جدید و انواعی که بر اساس لگاریتم چندعنصری بنا شده و در سال‌های اخیر معرفی شده‌اند نیز ژئوپرتوولیت آذرین متابازیت‌های مجموعه دگرگونی گشت، وابسته به جایگاه فورانش است. الف- بنابر نمودار دوتایی [۳۴]، جایگاه زمین‌ساختی متابازیت‌های مجموعه دگرگونی گشت کمان آتشفشاری قاره‌ای و اقیانوسی است. ب، پ، ت- در نمودارهای جداکننده‌ی جایگاه زمین‌ساختی [۳۵]. پرتوولیت آذرین متابازیت‌های مورد بررسی در کمان آتشفشاری اقیانوسی شکل گرفته است (بازالت پشتی میان اقیانوسی: MORB، بازالت جزایر اقیانوسی: OIB، بازالت جزایر قوسی: IAB، بازالت شکافت قاره‌ای: CRB). ث- با توجه به توابع تمایز تعریف شده توسط [۳۶]، اکثر متابازیت‌های موردن بررسی در گستره‌ی بازالت جزایر قوسی جای دارند. ج- در نمودار توابع جداکننده تعیین شده توسط [۳۷]، تمامی متابازیت‌های مجموعه دگرگونی گشت در گستره‌ی بازالت جزایر قوسی واقع شده‌اند.

جایگاه تکتونومتامورفیک مجموعه دگرگونی گشت ویژگی‌های سنگشناسی و دگرگونی مجموعه گشت و نیز ویژگی‌های ساختاری این مجموعه، مشابه سنگ‌های فانروزونئیک دیگر مناطق البرز نیست. بنابراین، خاستگاه و جایگاه زمین ساختی این مجموعه هنوز روشن نشده است [۴۰]. در حال حاضر، بر پایه‌ی مشاهدات ساختاری و این حقیقت که بخش زیرین این مجموعه اثرهای دگرگونی دونین را آشکار می‌کند [۴۱] و نیز نظر به قرارگیری این مجموعه در محل پهنه برخوردی پالئوتیس و بر اساس شواهد صحرابی، مجموعه‌ی دگرگون گشت را به صورت ساختارهای ورقه‌ای نابرجا و بیگانه پنداشته شده که احتمالاً در بردارنده‌ی سنگ‌های حوضه‌ی رسوی هرسینین صفحه‌ی توران است که به‌وسیله گسل‌های راندگی ناشی از برخوردهای کیمیرین، در موقعیت فعلی خود قرار گرفته است [۴۰]. چنانکه در مبحث زمین‌شناسی ناحیه‌ای بیان شد، مجموعه‌های دگرگونی موجود در کمربند کوهزاپی البرز (گشت، اسلام، شاندرمن، گرگان و مشهد) به عنوان بقایایی از حوضه‌ی اقیانوسی پالئوتیس در نظر گرفته شده که با فاز کوهزاپی ائوکیمیرین در طول زمین درز پالئوتیس جایگیری کرده‌اند. رابطه‌ی مکانی نزدیکی بین مجموعه‌ی دگرگونی گشت و مجموعه‌های شاندرمن و اسلام وجود دارد. بر خلاف مجموعه‌های دگرگونی شاندرمن و اسلام که با کشف سنگ‌های رخساره‌ی اکلوژیت و شیست آبی [۱۰-۷]، توجه زیادی را در سال‌های اخیر به خود جلب کرده‌اند، داده‌های سنگ‌شناسی اندکی درباره مجموعه دگرگونی گشت در دسترس است.



در نمودار عناصر خاکی نادر سنجدیده شده نسبت به کندریت [۳۸]، الگوی عناصر خاکی نادر سبک نسبت به سنگین غنی‌شدگی نشان می‌دهند و نسبت La/Yb در آن‌ها از ۲/۴۷ تا ۹/۳۶ تغییر می‌کند (شکل ۱۱الف). در نمودار عنکبوتی سنجدیده شده نسبت به گوشته‌ی اولیه (شکل ۱۱ب)، عناصر سزیم، روبيديم، توريم، اورانيم و سرب به شدت غنی‌شدگی نشان می‌دهند. عناصر نيوبيم، فسفر، تيتانيوم و زيركنيم دارای بی‌هنجری منفی هستند. اين چنین شاخص‌های ژئوشيميايی از ویژگی‌های مagmaهای مناطق فروزانش هستند. بی‌هنجری مثبت عناصر مانند سرب، اورانيم و توريم، شاخص آلايش گدازه‌ی گوشته‌ای با پوسته‌ی قاره‌ای نیز هستند.

به عقیده [۳۹]، شاخص‌های ژئوشيميايی شبه‌بازی‌های مجموعه دگرگونی گشت، مشابه magmaتيسم جایگاه پشت قوس است. بنابر داده‌های ژئوشيميايی این پژوهش، نیز پيدايش پروتوليت شبه‌بازی‌های مجموعه دگرگونی گشت با magmaتيسم جایگاه حاشیه فعال قاره‌ای یا جزایر قوسی سازگار است. از طرفی فراوانی سنگ‌های دگرگونی با پروتوليت پليتی [۱۲، ۱۳]، بيشتر با جایگاه قوس قاره‌ای همخوانی دارد تا قوس اقیانوسی. اين جایگاه پيچيده‌ترین محیط زمین ساختی از نظر پيدايش magmaست، زيرا سنگ خاستگاه‌های متنوعی، از قبيل گوهی گوشته‌ای آستانوسفری و ليتوسفری، رسوها و صفحه‌ی اقیانوسی فروزو و پوسته‌ی قاره‌ای، در تشکيل magma مشارکت دارند. نظر به تركيب بازالتی و آندزيت بازالتی نمونه‌های مورد بررسی، خاستگاه گوشته‌ای آن‌ها محتمل تر است.



شکل ۱۱ الف) در الگوی عناصر خاکی نادر سبک نسبت به کندریت [۳۸] عناصر خاکی نادر سبک نسبت به سنگین، نسبتاً غنی‌شدگی نشان می‌دهند. ب) در نمودار عنکبوتی سنجدیده شده نسبت به گوشته‌ی اولیه [۳۸] نمونه‌ها در مقایسه با تركيب گوشته‌ی اولیه، غنی‌شدگی از عناصر بزرگ یون لیتوفیل (Cs, Rb, Th, U, Pb) و تهمی‌شدگی از عناصر با میدان پایداری بالای (Nb, P, Zr, Ti) دیده می‌شود. اين چنین ویژگی‌های ژئوشيميايی شاخص جایگاه فروزانش يا آلايش با پوسته قاره‌ای است.

گشت، با حاشیه‌ی فعال قاره‌ای هم‌خوانی بیشتری دارد. در اختیار داشتن داده‌های ایزوتونی استرانسیم و نتودیمیم، به شناسایی جامع‌تر شکل‌گیری مagma‌های سازنده‌ی متابازیت‌های مجموعه‌ی دگرگونی گشت کمک خواهد کرد. شرایط دگرگونی متابازیت‌های و متاپلیت‌های مجموعه‌ی دگرگونی گشت مشابه بوده و معادل گرادیان دگرگونی حاکم بر جایگاه ژئو‌دینامیکی برخوردي است. احتمالاً فرورانش حوضه اقیانوسی پالئوتیس ضمن تشکیل سنگ‌های رخساره‌ی اکلوژیت و شیست آبی شاندرمن و اسلام در کanal فرورانش، منجر به زایش magma‌های بازیک سازنده‌ی پروتولیت متابازیت‌های مورد بررسی در لبه‌ی قاره‌ای صفحه‌ی توران شده است. سپس طی فرورانش و صفحه‌ی توران، این مجموعه‌ی قاره‌ای و magma‌تیسم بازیک موجود در آن دستخوش دگرگونی حاشیه‌ی فعال قاره‌ای یا برخورد قاره‌ای شده‌اند و متاپلیت و متابازیت‌های مجموعه‌ی دگرگونی گشت را به وجود آورده‌اند. حاکم بودن درجه‌ی دگرگونی بالاتر در بخش‌های عمیق‌تر منطقه‌ی برخوردي، شرایط لازم برای ساختارهای میگماتیتی، ایجاد ذوب‌بخشی و در نهایت زایش گدازه‌ی گرانیتی نوع S را سبب شده است. این سناریوی مطرح شده در صورتی از جامعیت کامل‌تری برخورد خواهد بود که با بررسی-های سن‌سنگی دقیق، زمان دگرگونی متابازیت‌های و متاپلیت‌های تکتونوماتامورفیک این مجموعه و ارزیابی زمان رخدادهای فرورانش و برخورد حاصل شود.

#### مراجع

- [1] Miyashiro A., "Metamorphism and related magmatism in plate tectonics", American Journal of Sciences, 272 (1974), 629-656.
- [2] Alavi M., Vaziri H., Seyed-Emami K., Lasemi Y., "The Triassic and associated rocks of the Nakhlak and Aghdarband area in central and northeastern Iran as remanents of the southern Turanian active continental margin", Geological Society of America Bulletin 109 (1997) 1563-1575.

متاپازیت‌های، سنگ دگرگونی غالب در مجموعه‌های شاندرمن (آمفیبولیت و اکلوژیت) و اسلام (شیست سبز و شیست آبی) بوده و پروتولیت آن‌ها از نوع مورب [۴۲] و جزایر قوسی [۴۳] هستند. شرایط دگرگونی متابازیت‌های این دو مجموعه دگرگونی، با شرایط فشار و دمای حاکم بر کanal فرورانش یا منشورهای بهم افزوده هم‌خوانی دارد. اما سنگ‌های دگرگونی مجموعه‌ی گشت، بیشتر از نوع قاره‌ای بوده و متاپلیت‌ها فراوان‌ترین واحد سنگی هستند [۱۲، ۱۳]. شبیه متابازیت‌های مجموعه‌ی دگرگونی گشت نیز بیان‌گر تشکیل پروتولیت آن‌ها در جایگاه حاشیه‌ی فعال قاره‌ای است. شرایط دگرگونی شامل فشار ۶ تا ۸ کیلوبار و دمای ۶۰۰ تا ۷۵۰ درجه‌ی سانتی‌گراد متابازیت‌ها، مشابه متابلیت‌های میگماتیتی مجموعه دگرگونی گشت است و معادل گرادیان دگرگونی P/T متوسط یا کوهزایی است [۱۲، ۱۳].

پیدایش توده‌های گرانیتی موجود در مجموعه دگرگونی گشت، ناشی از دگرگونی و ذوب‌بخشی پروتولیت پلیتی بوده (گرانیت نوع S) و احتمالاً پس از بسته شدن حوضه‌ی اقیانوسی پالئوتیس و در جایگاه حاشیه‌ی فعال قاره‌ای و یا در نتیجه‌ی برخورد خردۀ قاره‌های کیمیرین (بلوک البرز) با حاشیه‌ی جنوبی اورآسیا (فاز کوهزایی اوکیمیرین) به وجود آمده‌اند [۴۴]. گرانیت تورمالین‌دار منطقه‌ی گشت-ماسوله با سن ۱۸۰ میلیون سال [۴۱] و گرانیت لیسار در بخش مرکزی کوه‌های طالش با سن ۱۷۹ میلیون سال [۴۵] نیز در جایگاه زمین‌ساختی برخوردي حاصل از فاز کوهزایی اوکیمیرین شکل گرفته‌اند [۴۶، ۱۱].

#### برداشت

شواهد ژئوشیمیایی شبه‌بازی‌های مجموعه‌ی دگرگونی گشت نشان‌دهنده شکل‌گیری حاصل از فرورانش پروتولیت magma‌ای آنهاست. ترکیب آندزیت بازالتی و بازالتی شبه‌بازی‌های این مجموعه دگرگونی، بیان‌گر آن است که ذوب‌بخشی گوهی کوشه‌های نقش اصلی را در تشکیل آن‌ها بر عهده داشته است. فراوانی پروتولیت پلیتی هم‌زیست با متابازیت‌های نیز حاکی از آن است که جایگاه زمین‌ساختی احتمالی مجموعه‌ی دگرگونی

- [۱۲] جوانمرد م. ر., "پترولوژی مجموعه دگرگونی گشت" پایان نامه کارشناسی ارشد (۱۳۹۲)، دانشگاه بین المللی امام خمینی (ره) قزوین.
- [۱۳] جوانمرد م. ر., نصرآبادی م., داودی ز., قلیزاده ک., "مجموعه دگرگونی گشت: مثالی از دگرگونی  $P/T$  متوسط کمرندهای کوهزایی"، سی سومین همایش انجمن زمین شناسی ایران، تهران، (۱۳۹۲) ص ۳۱۳-۳۰۶.
- [۱۴] Hawthorne F. C., Oberti R., Harlow G. E., Maresch W. V., Martin R.F., Schumacher J.C., Welch M.D., "Nomenclature of the amphibole super group", American Mineralogist 97 (2012), 2031-2048.
- [۱۵] Leake B.E., "The relationship between composition of calciferous amphibole and grade of metamorphism, In W.S. Pitcher and G.W. Flinn, Eds., Controls of Metamorphism", Wiley, New York, (1965) 299–318.
- [۱۶] Deer W. A., Howie R. A., Zussman J., "An introduction to rock forming minerals", London (1992) 528.
- [۱۷] Morimoto N., "Nomenclature of pyroxene", American mineralogist 73 (1988) 1123-1133.
- [۱۸] Liu J., Bohlen S.R., Ernst W.G., "Stability of hydrous phases in subducting oceanic crust", Earth and Planetary Science Letters 143 (1996) 161–171.
- [۱۹] Bucher K., Grapes R., "Petrogenesis of metamorphic rocks", (2011) 8<sup>th</sup> edition, Springer, Verlag, Berlin.
- [۲۰] Ernest W. G., Liu J., "Experimental phase-equilibrium study of Al- and Ti-contents of calcic amphibole in MORB-A semiquantitative thermobarometer", American Mineralogist 83 (1998) 952-969.
- [۲۱] Liu J., "High pressure phase equilibria involving the amphibolite-eclogite transformation", unpublished doctoral dissertation, Stanford University, (1997).
- [۲۲] Blundy J.D., Holland T.J.B., "Calcic amphibole equilibria and a new amphibole-plagioclase geothermometer", Contributions to Mineralogy and Petrology 104 (1990) 208-24.
- [۲۳] Holland T., Blundy J., "Non-ideal interactions in calcic amphiboles and their bearing on [۳] Alavi M., "Sedimentary and structural characteristics of the Paleo-Tethys remnants in northeastern Iran", Geological Society of America Bulletin 103 (1991) 983–992.
- [۴] Sengör A. M. C., "The Cimmeride Orogenic System and the Tectonics of Eurasia", Geological Society of America, Special Paper 195 (1984) 1-82.
- [۵] Delaloye M., Jenny J., Stampfli G., "K-Ar dating in the eastern Elburz (Iran)", Tectonophysics 79 (1981) 27–36.
- [۶] Zanchi A., Zanchetta S., Berra F., Mattei M., Garzanti E., Molyneux S., "The Eo-Cimmerian (Late? Triassic) orogeny in North Iran. In: South Caspian to Central Iran basins (Eds. Brunet, M. F., Wilmsen, M. and Granath, J. W.)", Special Publications, Geological Society, London 312 (2009) 31-55.
- [۷] Zanchetta S., Zanchi A., Villa I., Poli S., Muttoni G., "The Shanderman eclogites: a Late Carboniferous high-pressure event in the NW Talesh Mountains (NW Iran). In: South Caspian to Central Iran basins (Eds. Brunet, M. F., Wilmsen, M. and Granath, J. W.)", Special Publications, Geological Society, London 312 (2009) 57-79.
- [۸] Omrani H., Moazzen M., Oberhänsli R., Tsujimori T., Bousquet R., Moayyed M., "Metamorphic history of glaucophane-paragonite-zoisite eclogites from the Shanderman area, northern Iran", Journal of Metamorphic Geology 31 (2013b) 791-812.
- [۹] سعادت م., "پترولوژی مجموعه دگرگونی اسلام", پایان نامه کارشناسی ارشد (۱۳۹۲)، دانشگاه بین المللی امام خمینی (ره) قزوین.
- [۱۰] سعادت م., نصرآبادی م., آسیابانها ع., "دما-فشارسنجی و تفسیر جایگاه تکتونیکی سنگ‌های رخساره شیست‌آبی مجموعه دگرگونی اسلام (شمال غرب رشت)، مجله پترولوژی دانشگاه اصفهان", شماره ۱۹ (۱۳۹۳) ص ۱۵۴-۱۳۸.
- [۱۱] Clark G. C., Davies R. G., Hamzepour B., Jones C. R., "Exploratory text of the Bandar-e-pahlavi quadrangle map, 1:250,000", Geological Society of Iran, D3, (1975) 198 P.

- [33] Pearce J.A., "Trace elements characteristic of lavas from destructive plate boundaries", *Andesites* (Thorpe, R. S., ed.), Wiley, New York, (1982) 525–528.
- [34] Hollocher K., Robinson P., Walsh E., Roberts D., "Geochemistry of amphibolite-facies volcanics and gabbros of the Stören Nappe in extensions west and southwest of Trondheim, Western Gneiss Region, Norway: a key to correlations and paleotectonic settings", *American Journal of Science* 312 (2012) 357-416.
- [35] Vermeesch P., "Tectonic discrimination diagrams revisited", *Geochemistry, Geophysics and Geosystem* 7 (2006) 1-55.
- [36] Verma S.P., Guevara M., Agrawal S., "Discriminating four tectonic settings: five new geochemical diagrams for basic and ultrabasic volcanic rocks based on log-ratio transformation of major-elementdata", *Journal of Earth System Science* 115(5) (2006) 485-528.
- [37] Agrawal S., Guevara M., Verma S. P., "Tectonic discrimination of basic and ultrabasic volcanic rocks through log-transformed ratios of immobile trace elements", *International Geology Review* 50 (2008) 1057-1079.
- [38] Sun S. S., McDonough W.F., "Chemical and isotopic systematics of oceanic basalts: implications for mantle composition and processes, In: Saunders, A. D., Norry, M.J. (Eds.), *Magmatism in Ocean Basins*", Special Publications, Geological Society, London 42 (1989) 312-345.
- [۳۹] جعفری م.، "پترولوژی سنگ‌های مافیک مجموعه دگرگونی گشت"، شهرستان فومن، گیلان، رساله کارشناسی ارشد (۱۳۸۸)، دانشگاه تربیت مدرس.
- [40] Alavi M., "Tectonostratigraphic synthesis and structural style of the Alborz Mountain System in Iran", *Journal of Geodynamics* 21(1996) 1–33.
- [41] Crawford M.A., "A summary of isotopic age data for Iran, Pakistan and India. In: *Livrea la me'moire de A. F. de Lapparent*", Socie'te' Ge'ologique de France, Memoir 8 (1977), 251–260.
- amphibole-plagioclase thermometry", *Contributions to Mineralogy and Petrology* 116 (1994) 433-47.
- [24] Garrels R.M., Mckenzie F.T., "Evolution of Sedimentary Rocks", W. W. Norton New York, NY (1971).
- [25] Le Bas M. J., Le Maitre R.W., Streckeisen A., Zanettin B., "A chemical classification of volcanic rocks based on the total alkali-silica diagram", *Journal of Petrology* 27 (1986) 745-750.
- [26] Pearce J.A., "A users guide to basalt discrimination diagrams. In: Wyman, D. A. (eds) *Trace Element Geochemistry of Volcanic Rocks: Applications for Massive Sulphide Exploration*", Geological Association of Canada 12 (1996) 79-113.
- [27] Irvine T. N., Baragar W.R.A., "A guide to the chemical classification of the common volcanic rocks", *Canadian Journal of Earth Science* 8 (1971) 523–548.
- [28] Pearce T.H., Groman B.E., Birkett T.C., "The  $TiO_2$  -  $K_2O$  -  $P_2O_5$  diagram: a method of discriminating between oceanic and non-oceanic basalts", *Earth and Planetary Science Letters* 24 (1975) 419-426.
- [29] Pearce J.A., Gale G.H., "Identification of ore-deposition environment from trace element geochemistry of associated igneous host rocks", *Special Publications, Geological Society, London* 7 (1977) 14-24.
- [30] Cabanis B., Lacolle M., "Le diagramme  $La/10$ -  $Y/15$ -  $Nb/8$ : un outil pour la discrimination des series volcaniques et la mise en evidence des processus de melange et ou de contamination crustale", *C. R. Acad. Sci. II*, 309 (1989) 2023-2029.
- [31] Wood D.A., "The application of a Th-Hf-Ta diagram to problems of tectonomagmatic classification and to establishing the nature of crustal contamination of basaltic lavas of the British Tertiary volcanic province", *Earth and Planetary Science Letters* 50 (1980) 11-30.
- [32] Pearce J. A., Norry M.J., "Petrogenetic implications of Ti, Zr, Y, and Nb variations in volcanic rocks", *Contributions to Mineralogy and Petrology* 69 (1979) 33-47.

- [44] Omrani H., Michaeli R., Moazzen M., "Geochemistry and petrogenesis of the Gasht peraluminous granite, western Alborz Mountains, Iran", N. Jb. Geol. Paläont. Abh. 268/2 (2013), 175–189.
- [45] معنی پور س.، "الگوی زمانی و فضای برخاستگی همراه با فرسایش در کوه‌های طالش، شمال غرب ایران"، رساله دکتری (۱۳۹۲)، دانشگاه تربیت مدرس.
- [46] Davies R. G., Jones C. R., Hamzepour B., Clark G.C., "Geology of Masuleh sheet, 1:100,000, northwest Iran", Geological Survey of Iran (1972), Report No. 24.

[۴۲] عمرانی ه.، موید م.، ابرهنسلى ر.، بوسکو ب.، سوجيموري ت.، "ژئوشيمى اكلوزيت‌های شاندرمن، تأكيدی بر ماهیت پروتولیت آن"، بلورشناسی و کانی‌شناسی ایران شماره ۳ (۱۳۸۹) ص. ۴۳۱-۴۴۴.

[۴۳] نصرآبادی م.، سعادت م.، "ژئوشيمى و جايگاه پائوتكتونيك متابازيت‌های مجموعه دگرگونی اسلام (شمال-غرب رشت)", مجله پetroلويي، زير چاپ.